

Министерство высшего и среднего специального образования
Р С Ф С Р

Горьковский ордена Трудового Красного Знамени
научно-исследовательский радиофизический институт (НИРФИ)

Преprint № 142

ЗАГУХАНИЕ УЛЬТРАНИЗКОЧАСТОТНЫХ ВОЛН
В СОЛНЕЧНОМ ВЕТРЕ И ПЕРЕХОДНОЙ ОБЛАСТИ

Бархатов Н.А.

Горький 1980

УДК 621.371.25

Корреляционные исследования последних лет по со-
поставлению ультразвуковых (УНЧ) волн в солнеч-
ном ветре и геомагнитных пульсаций на земной поверхно-
сти позволяют предположить, что часть пульсаций имеет
внемагнитосферное происхождение. С этим предположени-
ем связана разработка перспективного направления в ди-
агностике околоземного космического пространства по на-
земным наблюдениям УНЧ колебаний несущих информацию
о солнечном ветре [1]. Это предположение нуждается,
однако, в теоретическом подтверждении возможности про-
никания таких волн в магнитосферу Земли. В настоящей
работе изучаются вопросы затухания УНЧ волн диапазона
геомагнитных пульсаций при их распространении в солнеч-
ном ветре в переходной области.

1. Эффективное ослабление ультразвукочастотных волн в солнечном ветре

1. В процессе переноса магнитогидродинамических (МГД) УНЧ воли в солнечном ветре, они претерпевают как амплитудные, так и поляризационные изменения, обусловленные макро и микро свойствами среды. Изучение их распространения обычно проводится в приближении бесстолкновительной среды, поскольку вязкость, вызываемая кулоновскими столкновениями, пренебрежимо мала, а эффективная вязкость, связанная с рассеянием частиц на магнитных неоднородностях, по оценкам [2] также не приводит и сколько-нибудь заметного затуханию МГД воли. Бесстолкновительное поглощение может играть определенную роль только для быстрых магнитозвуковых (БМЗ) и медленных магнитозвуковых (ММЗ) волн. Оно пропорционально, соответственно [3]

$$\exp\left(-\frac{B_0^2}{8\pi N_i k T_i \cos^2 \chi}\right) \text{ и } \exp\left(-\frac{\gamma}{2} \left(1 + \frac{T_e}{T_i}\right)\right), \quad (1.1)$$

где χ - угол между неправлениями межпланетного магнитного поля (ММП) B_0 и волновым вектором \vec{k} , N - концентрация частиц, T - их температура, γ - показатель политропы, "e" и "i" - относятся к электронам и протонам. Что касается альвеновских волн,

то уменьшение их амплитуд обычно связывается только с радиальным расширением межпланетной плазмы [3].

Оценки с применением (1.1) показывают, что магнитозвуковые волны могут при некоторых условиях затухать в солнечном ветре на расстояниях меньших 1 а.е. Однако наблюдаемая анизотропия флюктуаций магнитного поля в системе координат $\vec{t}_1 = \frac{\vec{B}_0}{B} \times \frac{\vec{v}}{v}$, $\vec{t}_2 = \frac{\vec{B}_0}{B} \times \vec{t}_1$,

$\vec{t}_3 = \frac{\vec{B}_0}{B}$ не настолько велика, чтобы можно было полностью исключить из рассмотрения магнитозвуковые волны. По последним сведениям [4] спектральная мощность магнитозвуковых волн уверенно составляет четверть от мощности, связанной с альвеновскими волнами. Это говорит о том, что существует эффективный механизм перекачки мощности альвеновских волн в магнитозвуковые. По нашим представлениям таким механизмом может быть рассеяние альвеновских волн на неоднородностях магнитного поля и концентрации солнечного ветра. В рамках борновского приближения каждую такую неоднородность можно рассматривать как вторичный источник, переизлучающий энергию первичной альвеновской волны в магнитозвуковые волны, затухающие на больших расстояниях. Предлагаемый механизм будет особенно эффективен тогда, когда существенную роль играет плазменный резонанс и рассеяние носит резонансный характер [5, 6]. В этом случае альвеновские волны могут оказаться ослабленными.

В настоящей работе рассматриваются вопросы трансформации МГД волн на неоднородностях плазмы и магнитного поля в солнечном ветре. Выводы теории применены к вычислению затухания альвеновских волн и качественному объяснению значительной доли магнитозвуковых колебаний в возмущении магнитного поля. Затуханием волн, связанным с рассеянием частиц на неоднородностях в солнечном ветре, пренебрегаем

2. Изучим распространение УНЧ волн в солнечном ветре, в котором примем выполненные условия неизотермичности $\omega \ll \omega \ll \omega_{\phi}$, $v_T \ll \omega / |k_z| \ll v_{Te}$,

$k_\perp^2 v_{T\phi}^2 / \omega_{B\phi}^2 \ll 1$, где $\omega_{0\phi}$ – плазменная частота, $\omega_{B\phi}$ – гирочастота, $v_{T\phi}$ – тепловая скорость частиц

сорта ϕ , \vec{k} ($k_\perp, 0, k_z$) – волновой вектор. В солнечном вете справедливы также неравенства $T_e \ll T_i$,

$v_s < v_A$ (v_s – звуковая, v_A – альвеновская скорость), что позволяет пренебречь бесстолкновительной диссипацией волн, а также записать тензор диэлектрической проницаемости [7] в диагональном виде [8]

$$\epsilon_{ij} = \begin{pmatrix} \epsilon & 0 & 0 \\ 0 & \epsilon & 0 \\ 0 & 0 & \epsilon_{zz} \end{pmatrix}, \quad (1.2)$$

где $\epsilon = \frac{\omega_{0i}^2}{\omega_{Bi}^2}$, $\epsilon_{zz} = -\delta + \frac{\beta}{k_z^2}$, $\delta = \frac{\omega_{0i}^2}{\omega^2}$,

$$\beta = -\frac{\omega_{0e}^2}{v_e^2}.$$

Дисперсионное уравнение для нормальных волн в такой среде имеет следующий вид:

$$(k_z^2 + k_\perp^2 - k_0^2 \epsilon) \left[(k_z^2 - k_0^2 \epsilon) \left(-\delta + \frac{\beta}{k_z^2} \right) + \epsilon k_\perp^2 \right] = 0, \quad (1.3)$$

$$k_0 = \frac{\omega}{c}.$$

Здесь квадратная скобка описывает медленную магнитозвуковую и альфеновскую (A) волны:

$$k_{z1,2}^2 = \frac{\beta + \delta k_0^2 \epsilon + k_\perp^2 \epsilon \pm \sqrt{(\beta + \delta k_0^2 \epsilon + \epsilon k_\perp^2)^2 - 4 \delta \beta k_0^2 \epsilon}}{2 \delta}.$$

Однако, при учёте $\beta/\delta = \omega/U_s^2 \gg k_0^2 \epsilon = \omega^2/U_A^2$, возможны приближения выражения:

$$k_{z1}^2 = \frac{\beta}{\delta} \left(1 + \frac{\epsilon}{\beta} k_\perp^2 \right), \quad k_{z2}^2 = \frac{k_0^2 \epsilon}{1 + \frac{\epsilon}{\beta} k_\perp^2}. \quad (1.4)$$

Круглая скобка в (1.3) относится к быстрой магнитозвуковой волне с дисперсионным уравнением

$$k_{z3}^2 = k_0^2 \epsilon - k_\perp^2. \quad (1.5)$$

Зависимости k_z (k_\perp) для всех трёх волн представлены на рис. 1. Заметим, что поверхности волновых векторов ММЗ и альвечковской волны не замкнуты. Это обусловлено плазменными резонансами.

3. Для целей решения поставленной задачи получим выражение для мощности излучаемой заданным током

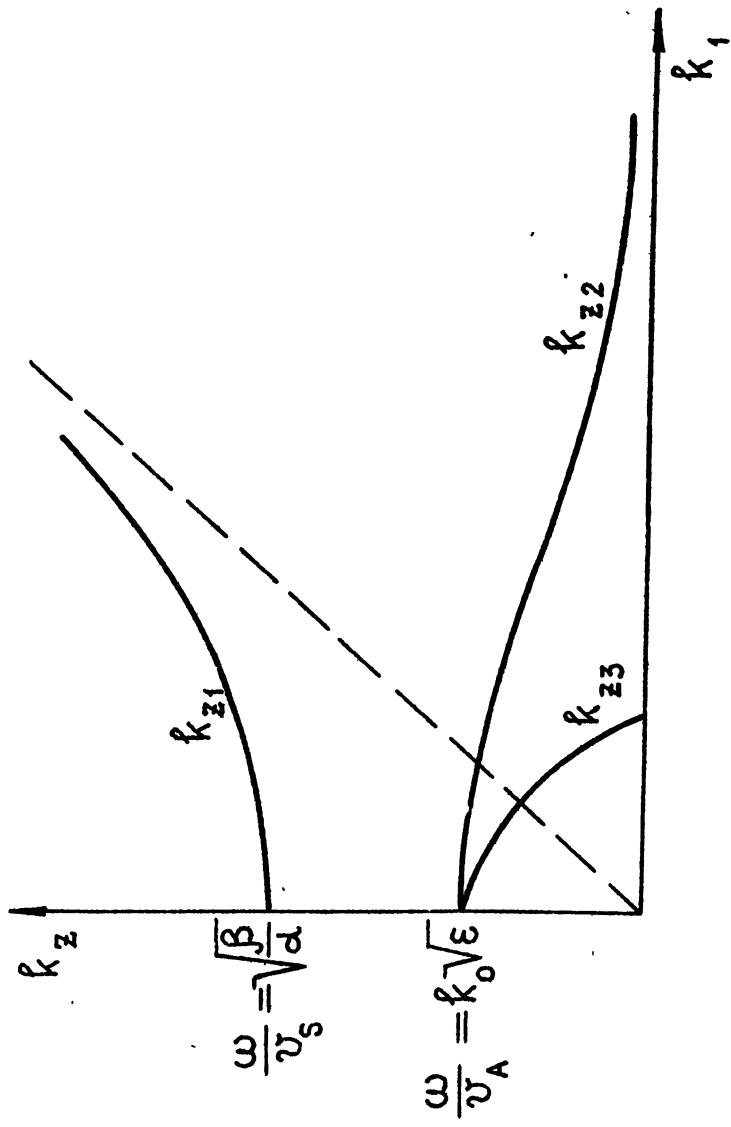
$$j(\vec{R}, t) = j(\vec{R}) e^{-i\omega t}$$

в плазме с тензором выбранного вида (1.2).

Решение волнового уравнения в среде с диагональным тензором можно записать в интегральной форме [9]:

$$A_\perp = \frac{1}{2\pi c^2 c} \int_{-\infty}^{\infty} \frac{j_f(\vec{k}) e^{i\vec{k}\vec{R}}}{k^2 - k_A^2} d\vec{k},$$

FIG. 1



$$A_z = -\frac{1}{2\pi^2 C} \int_{-\infty}^{\infty} \frac{d\vec{j}_z(\vec{k}) k_\perp^2 + k_z \vec{j}_z(\vec{k})}{(k_z^2 - \omega k_\perp^2 - k_A^2) k_\perp^2} e^{i\vec{k}\vec{R}} d\vec{k} + \\ + \frac{1}{2\pi^2 C} \int_{-\infty}^{\infty} \frac{k_z \vec{j}_z(\vec{k}) e^{i\vec{k}\vec{R}}}{(k^2 - k_A^2) k_\perp^2} d\vec{k}, \quad (1.6)$$

где \vec{A} (A_x , A_z) - векторный потенциал, $k_A^2 = k_0^2 \epsilon$,

$$\vec{j}(\vec{k}) = \int_{-\infty}^{\infty} \vec{j}(R) e^{-i\vec{k}\vec{R}} d\vec{R}, d\vec{R} = dx dy dz,$$

$$d\vec{k} = dk_x dk_y dk_z, \vec{k}\vec{R} = k_x x + k_y y + k_z z.$$

Полная интенсивность излучения определяется по формуле

$$I = \frac{1}{2} \operatorname{Re} \int (\vec{j} \vec{E}^*) d\vec{R} = I_{MM3} + I_A + I_{BM3},$$

$$\vec{E} = ik_0 \vec{A} + \frac{i}{k_0 \epsilon} \nabla(\Gamma \vec{A}), \vec{H} = \operatorname{rot} \vec{A}$$

Тогда излучение, имеющее резонансный характер, будет описываться выражением:

$$I_{MM3} + I_A = \frac{1}{4\pi c^2 k_0 \epsilon c} \operatorname{Re} \frac{1}{i} \int_{-\infty}^{\infty} dk \left[k_z (\bar{k} j_{\perp}) - \frac{\epsilon}{\epsilon_{zz}} k_{\perp}^2 j_z \right] \times$$

$$\frac{k_{\perp}^2 (k_z^2 + \frac{\epsilon}{\epsilon_{zz}} k_{\perp}^2 - k_0^2 \epsilon)}{x} \times$$

$$\times \left[k_z (\bar{k} j_{\perp}) + (k_z^2 - k_0^2 \epsilon) j_z \right]. \quad (1.7)$$

Учитывая (1.4), можно переписать (1.6) в следующем виде:

$$I_{MM3} + I_A = \frac{1}{4\pi c^2 \epsilon \omega} \operatorname{Re} \frac{1}{i} \int_{-\infty}^{\infty} \frac{\epsilon_{zz} k_z^4 |\bar{k} j_{\perp}|^2 dk}{dk_{\perp}^2 (k_z^2 - k_{z_1}^2)(k_z^2 - k_{z_2}^2)} +$$

$$+ \frac{1}{4\pi c^2 \omega} \operatorname{Re} \frac{1}{i} \int_{-\infty}^{\infty} \frac{k_z^2 (k_z^2 - k_0^2 \epsilon) |j_z|^2 dk}{dk (k_z^2 - k_{z_1}^2)(k_z^2 - k_{z_2}^2)} +$$

$$+ \frac{1}{4\pi c^2 \omega} \operatorname{Re} \frac{1}{i} \int_{-\infty}^{\infty} \frac{(k_{\perp} j_{\perp}) j_z + (\bar{k} j_{\perp}) j_z}{(k_z^2 - k_{z_1}^2)(k_z^2 - k_{z_2}^2)} k_z^3 dk. \quad (1.8)$$

Таким образом, если источник имеет широкий пространственный спектр $\tilde{f}(\vec{k})$, который захватит область поверхности волновых векторов, где $k_{z_1}(k_{\perp})$ выходит на асимптоту $k_z = k_{\perp} \sqrt{\frac{\epsilon}{d}}$, а $k_{z_2}(k_{\perp})$ на $k_z = 0$, то излучение и рассеяние, соответственно, в ММЗ волну и А волну носят резонансный характер. С этой точки зрения наибольший интерес представляют источники малых размеров, которые обладают широким пространственным спектром. Поскольку в работе изучается эффективное затухание альвеновских волн вследствие трансформации в ММЗ, то для нас будет представлять интерес анализ только части выражения (1.8), а именно:

$$I_{MM3} = \frac{1}{4\pi\epsilon\omega} \int_{-\infty}^{\infty} dk_{\perp} \left(k_{z_1}^2 - \frac{\beta}{d} \right) \left| \tilde{k}_z \tilde{j}_{\perp} k_{z_1} \right|^2 + (1.9)$$

$$+ \frac{1}{4\pi\omega d} \int_{-\infty}^{\infty} dk_{\perp} \left(k_{z_1}^2 - k_0^2 \epsilon \right) \left| \tilde{j}_z k_{z_1} \right|^2$$

4. В настоящее время считается общепринятым, что микроструктура ММП характеризуется следующими видами магнитных неоднородностей: волокнистой структурой с диаметрами волокон вблизи Земли $\sim 10^{11}$ см, мелкомасштаб-

ными флюктуациями, "магнитными щелями", областями, ограниченными контактными и ударными разрывами. Рассечение волн на крупномасштабной волокнистой структуре малоэффективно. Что касается мелкомасштабных магнитных неоднородностей, то экспериментальные спектры мощности ММП [4], обычно носящие степенной характер, позволяют оценить их характерные масштабы $A \approx V_{\text{СВ}} / 2\pi f_{\text{кр}}$, где $V_{\text{СВ}}$ - скорость солнечного ветра, $f_{\text{кр}}$ - критическая частота перехода степенного спектра в плоский. Средний масштаб вдоль ММП для спокойных условий в солнечном ветре составляет $A \sim 10^{11}$ см., в то время как поперечный меняется от $b \sim 10^{10}$ см. до $5 \cdot 10^{10}$ см. при повороте вектора ММП от радиального направления к перпендикулярному. Эти масштабы при некоторых условиях могут на порядок уменьшиться. "Магнитные щели" представляют собой области, ограниченные тангенциальными разрывами. Они вытянуты вдоль ММП и несмотря на разнообразность типов имеют характерные размеры $A \sim 10^9$ см $b \sim 5 \cdot 10^7$ см [10]. Регистрируемые в солнечном ветре сдвоенные контактные и ударные разрывы также могут быть мелкомасштабны в поперечном сечении, не говоря уже о структуре ударных волн, содержащей масштабы порядка гирорадиусов протонов.

Наблюдения межпланетных сцинтиляций [11] дают возможность определить пространственные масштабы флу-

туаций концентрации интервалом 10^7 см. $< b < 10^9$ см.

В отличие от магнитных флуктуаций, описываемых степенными спектрами мощности и поэтому, вероятно, имеющими отношение к магнитной турбулентности, пространственные масштабы флуктуаций концентрации распределены по Гауссу и скорее всего определяются плазменной нестабильностью.

Таким образом, флуктуации концентрации, которые в целом являются более мелкомасштабными, чем указанные выше магнитные, и флукуации магнитного поля имеют по всей видимости, разную природу и могут быть рассмотрены раздельно. Этого нельзя, конечно, сказать про стационарные магнитные структуры, для которых с помощью условия равновесия можно оценить соотношение между относительными величинами перепада магнитного поля и концентрации: $(\Delta B / B_0) : (\Delta N / N_0) = \beta_0$, где N_0 — средняя концентрация частиц, $\beta_0 = 2 v_s^2 / v_A^2 < 1$ — отношение газокинетического давления к магнитному.

5. Рассмотрим рассеяние альвеновской волны на неоднородностях солнечного ветра. Известно, что в первом приближении теории возмущений неоднородность можно рассматривать как источник [5] с заданным распределением тока

$$\vec{j}_{\text{эфф}} = \frac{i\omega}{4\pi} \vec{E}_0 (\hat{\epsilon} - \hat{\epsilon}^0), \quad (1.10)$$

где $\hat{\mathbf{E}}_0$ – невозмущенное электрическое поле, а приращение к тензору диэлектрической проницаемости, связанное с наличием как магнитных, так и неоднородностей плотности в нашем случае имеет вид:

$$\Delta \epsilon_{ij} = \hat{\epsilon} - \hat{\epsilon}^0 = \quad (1.11)$$

$$= \begin{pmatrix} \epsilon \frac{\Delta N}{N} - 2 \frac{\Delta B}{B} \cos \theta & 0 & (\epsilon_{zz} - \epsilon) \frac{\Delta B}{B} \sin \theta \cos \varphi \\ 0 & \epsilon \left(\frac{\Delta N}{N} - 2 \frac{\Delta B}{B} \cos \theta \right) (\epsilon_{zz} - \epsilon) \frac{\Delta B}{B} \sin \theta \sin \varphi \\ (\epsilon_{zz} - \epsilon) \frac{\Delta B}{B} \sin \theta \cos \varphi & (\epsilon_{zz} - \epsilon) \frac{\Delta B}{B} \sin \theta \sin \varphi & \epsilon_{zz} \frac{\Delta N}{N} - \\ & - 2 \frac{\beta}{k_z^2} \frac{\Delta B}{B} \sin \theta \cos \varphi \frac{k_z}{k_\perp} \end{pmatrix}$$

Здесь углы θ и φ определяют направление возмущения магнитного поля $\Delta \mathbf{B}$ неоднородности в сферической системе координат.

Пусть для определенности на неоднородность падает альвеновская волна с волновым вектором $\hat{\mathbf{k}}$, лежащим в плоскости xz .

Тогда

$$\vec{E}_0 = E_0 \left(\frac{\tilde{k}_0 \tilde{k}_\perp \epsilon^{3/2}}{\tilde{x}_0 - \frac{\beta \sqrt{1 + \frac{\epsilon \tilde{k}_\perp^2}{\beta}}}{\beta} \tilde{z}_0} \right) e^{i \tilde{k}_\perp x + i \tilde{k}_z z}, \quad (1.12)$$

где $\tilde{k}_z = \tilde{k} \cos \chi$, $\tilde{k}_\perp = \tilde{k} \sin \chi$, χ — угол между вектором падающей волны и \vec{B}_0 . Если $\chi = \arctg \frac{\sqrt{\beta}}{k_0 \epsilon}$, то (1.12) упрощается и может быть записано в виде:

$$\vec{E}_0 = E_0 \left(\tilde{x}_0 - \tilde{k}_\perp k_0 \frac{\epsilon^{3/2}}{\beta} \tilde{z}_0 \right) e^{i \tilde{k}_\perp x + i \tilde{k}_z z}, \quad (1.13)$$

причем соответствующие компоненты падающей волны $E_{0x} \gg E_{0z}$. Учитывая (1.10), (1.11), (1.13) находим компоненты эффективного тока (1.10):

$$j_x \text{ зфф} = - \frac{i\omega}{4\pi c} E_0 \left[\epsilon \frac{\Delta N}{N} + 2\epsilon \frac{\Delta B}{B} \cos \theta + \right. \\ \left. + \epsilon \frac{\Delta B}{B} \sin \theta \cos \varphi \operatorname{tg} \chi \left(1 - \frac{k_0^2 \epsilon^2}{\beta} \right) \right] e^{i \tilde{k}_\perp x + i \tilde{k}_z z}, \quad (1.14)$$

$$j_{y\text{эфф}} = \frac{i\omega}{4\pi} E_0 \frac{\Delta B}{B} \sin \theta \sin \psi \left(\frac{\beta}{k_0^2 \epsilon^2} - 1 \right) \operatorname{tg} \chi \frac{k_0^2 \epsilon^3}{\beta} e^{ik_1 x + ik_z z},$$

$$j_{z\text{эфф}} = \frac{i\omega}{4\pi} E_0 \left[-\frac{\Delta N}{N} \operatorname{Etg} \chi + \frac{\Delta B}{\rho} \epsilon \sin \theta \cos \psi \times \right. \\ \left. \times \left(\frac{\beta}{k_0^2 \epsilon^2} - 1 + 2\operatorname{Etg}^2 \chi \right) \right] e^{ik_1 x + ik_z z}.$$

а. Изучим вначале рассеяние альвеновской волны на неоднородностях плотности, каждую из которых зададим следующим образом

$$\frac{\Delta N}{N} = \left(\frac{\Delta N}{N} \right)_0 \exp \left(-\frac{x'^2}{b^2} - \frac{y'^2}{c^2} - \frac{z'^2}{a^2} \right). \quad (1.15)$$

Пусть для определенности неоднородность лежит в той же плоскости xz , в которой падает альвеновская волна, и её ось составляет угол θ с \vec{B}_0 . Тогда $x' = x \cos \theta - z \sin \theta$, $y' = y$, $z' = z \cos \theta + x \sin \theta$. Подставляя (1.15) в (1.14) и далее в (1.6), получаем

$$j_x \sim j_z \sim \pi c \sqrt{\epsilon} abc \exp \left[-\frac{(k_x - \tilde{k}_1)^2 (a^2 \sin^2 \theta + b^2 \cos^2 \theta)}{4} \right] \quad (1.16)$$

$$-\frac{k_y^2 c^2}{4} - \frac{(k_x - \tilde{k}_z)^2 (a^2 \cos^2 \theta + b^2 \sin^2 \theta)}{4} -$$

$$-\frac{2(k_x - \tilde{k}_z)(k_z - \tilde{k}_z)(a^2 - b^2) \sin \theta \cos \theta}{4}.$$

Получим выражения для мощности, излучаемой в ММЗ каждой из возможных неоднородностей среды солнечного ветра. Для этого подставим (1.16) в (1.9) и учтем соотношения между размерами рассматриваемых неоднородностей и длиной волны.

1) Мелкомасштабная изотропная неоднородность (ИН) концентрации ($a = b = c$, $k_z \gg \tilde{k}_z$) [8]

$$I_{MMZ, \Delta N}^{IN} = \frac{\pi^3 \omega \phi \epsilon^{3/2} a^3 E_0^2}{32 \sqrt{2} (\epsilon + \phi)^{3/2}} \left(1 + \frac{\epsilon}{\phi} \operatorname{tg}^2 \chi \right) \left(\frac{\Delta N}{N_0} \right)^2 e^{-\frac{\beta a^2}{2d}}, \quad \frac{a^2 \beta}{\epsilon} \ll 1,$$

$$I_{MMZ, \Delta N}^{IN} = \frac{\pi \omega \epsilon^2 E_0^2 a^2}{16(\epsilon + \phi) \sqrt{\phi \beta}} \left(\frac{\phi^2}{\phi + \epsilon} + \frac{a^2 \beta \operatorname{tg}^2 \chi}{2} \right)_x \quad (1.17)$$

$$\times \left(\frac{\Delta N}{N_0} \right)^2 e^{-\frac{\beta a^2}{2d}}, \quad \frac{a^2 \beta}{\epsilon} \gg 1.$$

2) Неоднородность концентрации, связанная с "магнитной щелью" (МЩ) ($\theta = 0$, $a \gg b = c$, $k_x \gg k_{\perp}$)

$$I_{mmz, \Delta N}^{MSh} = \frac{\pi \omega \epsilon a^2 b^4 E_0^2}{32 \sqrt{\delta \epsilon}} \left(1 + \frac{\epsilon}{\delta} \operatorname{tg}^2 \chi \right) \left(\frac{\Delta N}{N} \right)^2 \times \quad (1.18)$$

$$\times \left[\frac{\sqrt{\frac{\nu}{2j\omega^2}} + \sqrt{\frac{\pi}{\mu^5}} \frac{2\nu^2 + \mu}{4} e^{\frac{\nu^2}{\mu}} \left(\Phi \left(\frac{\nu}{\sqrt{j\omega}} \right) + 1 \right)}{\nu^2} \right] e^{-\frac{\beta a^2}{2\delta}} \frac{b^2 \beta}{\epsilon} \ll 1,$$

где $\nu = \frac{a^2 k_0^2 \epsilon}{2\sqrt{\delta}}$, $\mu = \frac{\nu^2}{2} + \frac{b^2 \beta}{2\delta}$, Φ - интеграл вероятности

$$I_{mmz, \Delta N}^{MSh} = \frac{\pi \omega \epsilon a^2 b^4 E_0^2}{16(a^2 \epsilon + b^2 \delta) \sqrt{\delta \beta}} \left(\frac{\delta^2}{a^2 \epsilon + b^2 \delta} + \frac{\beta}{2} \operatorname{tg}^2 \chi \right) \times$$

$$\times \left(\frac{\Delta N}{N} \right)_0^2 e^{-\frac{\beta a^2}{2\delta}}, \quad -\frac{b^2 \beta}{\epsilon} \geq 1.$$

3) Неоднородность концентрации, связанная с сдвоенным контактным (СКР) или ударным (УВ) разрывом ($a, c \gg b$, $k_x \gg k_{\perp}$, $\cos \theta \geq b/c$, $\theta \neq \frac{\pi}{2}$),

$b \sim r_{B_0}$ - гирорадиус протона для характерного масштаба структуры ударной волны)

$$\begin{aligned}
 I_{\text{скр,yp}}^{\text{мм3}, \Delta N} = & \frac{\pi \omega k_0 \epsilon^2 c^2 b^2 c E_0^2}{32 \sqrt{\delta}} \left(\frac{\Delta N}{N} \right)_0^2 \left(1 + \frac{\epsilon}{\delta} \operatorname{tg}^2 \chi \right) \times \\
 & \left[a^2 \left(\sqrt{\frac{\epsilon}{\delta}} \cos^2 \theta - \sin \theta \cos \theta \right) + b^2 \left(\sqrt{\frac{\epsilon}{\delta}} \sin^2 \theta + \sin \theta \cos \theta \right) \right] \\
 & \left\{ \left[a^2 \left(\sin^2 \theta + \frac{\epsilon}{\delta} \cos^2 \theta - 2 \sqrt{\frac{\epsilon}{\delta}} \sin \theta \cos \theta \right) + b^2 \left(\cos^2 \theta + \right. \right. \right. \\
 & \left. \left. \left. + \frac{\epsilon}{\delta} \sin^2 \theta + 2 \sqrt{\frac{\epsilon}{\delta}} \sin \theta \cos \theta \right) \right]^{3/2} \right\}^{-1} \times \\
 & \exp \left\{ k_0^2 \epsilon \left[a^2 \left(\sqrt{\frac{\epsilon}{\delta}} \cos^2 \theta - \sin \theta \cos \theta \right) + b^2 \left(\sqrt{\frac{\epsilon}{\delta}} \sin^2 \theta + \sin \theta \cos \theta \right) \right]^2 \right\} \\
 & \left\{ 2 \left[a^2 \left(\sin^2 \theta + \frac{\epsilon}{\delta} \cos^2 \theta - 2 \sqrt{\frac{\epsilon}{\delta}} \sin \theta \cos \theta \right) + \right. \right. \quad (1.18) \\
 & \left. \left. + b^2 \left(\cos^2 \theta + \frac{\epsilon}{\delta} \sin^2 \theta + 2 \sqrt{\frac{\epsilon}{\delta}} \sin \theta \cos \theta \right) \right] \right\}^{-1} \times \\
 & \times \exp \left[- \frac{\beta}{2\delta} \left(a^2 \cos^2 \theta + b^2 \sin^2 \theta \right) \right], \frac{\beta b^2}{\epsilon \cos^2 \theta} \ll 1.
 \end{aligned}$$

$$I_{\text{ММЗ}, \Delta N}^{\text{скр, ур}} = \frac{\pi \omega \epsilon \alpha^2 b^2 c E_0^2}{32 \sqrt{\delta \beta}} \left(\frac{\Delta N}{N} \right)_0^2$$

$$\exp \left[\frac{\beta (a^2 - b^2) \sin^2 \theta \cos^2 \theta}{2 \delta (a^2 \sin^2 \theta + b^2 \cos^2 \theta + \frac{\epsilon}{\delta} (a^2 \cos^2 \theta + b^2 \sin^2 \theta))} \right] \times \\ \times \left[\frac{a^2 \sin^2 \theta + b^2 \cos^2 \theta + \frac{\epsilon}{\delta} (a^2 \cos^2 \theta + b^2 \sin^2 \theta)}{[a^2 \sin^2 \theta + b^2 \cos^2 \theta + \frac{\epsilon}{\delta} (a^2 \cos^2 \theta + b^2 \sin^2 \theta) + \frac{\beta}{\delta} (a^2 - b^2)^2 \sin^2 \theta \cos^2 \theta]} \right]^{1/2} \times \\ \times \left[\frac{a^2 \sin^2 \theta + b^2 \cos^2 \theta + \frac{\epsilon}{\delta} (a^2 \cos^2 \theta + b^2 \sin^2 \theta)}{[a^2 \sin^2 \theta + b^2 \cos^2 \theta + \frac{\epsilon}{\delta} (a^2 \cos^2 \theta + b^2 \sin^2 \theta)] + \frac{\beta}{\delta} \operatorname{tg}^2 \chi} \right]^{-2} \\ \exp \left[- \frac{\beta}{2 \delta} (a^2 \cos^2 \theta + b^2 \sin^2 \theta) \right], \frac{\beta b^2}{\epsilon \cos^2 \theta} \geq 1.$$

Случай $k_z \gg \tilde{k}_z$ — мелкомасштабности неоднородности по оси ($\theta \approx \pi/2$) — мог быть также успешно рассмотрен. Однако он не представляет особого интереса при решении задачи о резонансном рассеянии, поскольку резонансное направление медленного магнитного звука, излучаемого неоднородностью, составляет с осью Z угол, равный $\pi/2 - (\arctg \sqrt{\epsilon/\delta} \approx \omega/\omega_B)$.

1. Рассмотрим рассеяние альвеновской волны на возможных магнитных неоднородностях. При задании возмущения поля в магнитной неоднородности необходимо, вообще

говоря, удовлетворить условию $\operatorname{div} \vec{B} = 0$. В этом случае, полагая аналогично (1.15)

$$\Delta B_z = \Delta B_0 \exp\left(-\frac{r'^2}{b^2} - \frac{z'^2}{a^2}\right),$$

получаем

(1.20)

$$\Delta B_r = -\Delta B_0 \frac{b^2}{a^2} \cdot \frac{z'}{r'} \exp\left(-\frac{r'^2}{b^2} - \frac{z'^2}{a^2}\right)$$

и, переходя в декартову систему координат с осью Z , направленной вдоль \vec{B}_0 , имеем

$$\begin{aligned} \Delta B_x &= \Delta B \sin \theta \cos \varphi = \Delta B_r \left(\frac{x'}{r'} \cos \theta \cos \varphi - \frac{y'}{r'} \sin \varphi \right) + \\ &+ \Delta B_z \sin \theta \cos \varphi, \quad \Delta B_y = \Delta B \sin \theta \sin \varphi = \\ &= \Delta B_r \left(\frac{x'}{r'} \cos \theta \sin \varphi + \frac{y'}{r'} \cos \varphi \right) + \Delta B_z \sin \theta \sin \varphi, \end{aligned} \quad (1.21)$$

$$\Delta B_z = \Delta B \cos \theta = -\Delta B_r \frac{x'}{r'} \sin \theta + \Delta B_z \cos \theta,$$

где $r'^2 = x'^2 + y'^2$. Однако, в солнечном ветре, в силу разреженности среды, плотность тока невелика, что позволяет считать магнитное поле потенциальным. Тогда можно положить $\Delta B_r = 0$ ($z' b^2 / r' a^2 \ll 1$). Пренебречь влиянием ΔB_r представляется так же возможным при рассмотрении рассеяния пробной волны в среде, заполненной плотно упакованными магнитными неоднородно-

стями, каждой из которых отвечает только определённое возмущение ΔB_z . Такой ситуации может отвечать, например, модель магнитной турбулентности.

Как и прежде, ограничиваясь случаем $\Psi = 0$, получаем следующие два выражения для мощности переизлучаемой магнитной неоднородностью типа МЩ и УВ в ММЗ.

1) Магнитная неоднородность типа "магнитной щели" ($\theta = 0$, $a \gg b$, $k_x \gg k_\perp$)

$$I_{\text{ММЗ}, \Delta B}^{\text{МЩ}} = \frac{\pi a^2 b^4 \omega \xi^2 E_0^2}{16 \sqrt{d\xi}} \left(\frac{\Delta B}{B} \right)_0^2 \left\{ \frac{v}{2\mu^2} + \right. \\ \left. + \sqrt{\frac{\pi}{\mu^5}} \frac{2v^2 + \mu}{4} \exp \frac{v^2}{\mu} \left[\Phi \left(\frac{v}{\sqrt{\mu}} \right) + 1 \right] \right\} \times \\ \times \exp \left(-\frac{\beta a^2}{2d} \right), \quad \frac{b^2 \beta}{\xi} \ll 1;$$

$$I_{\text{ММЗ}, \Delta B}^{\text{МЩ}} = \frac{\pi a^2 b^4 \omega \xi^2 E_0^2 d^2}{8V\sqrt{\beta}(\alpha^2 \xi + b^2 d)} \left(\frac{\Delta B}{B} \right)_0^2 \exp \left(-\frac{\beta a^2}{2d} \right) \frac{b^2 \beta}{\xi} \gg 1.$$

2) Сдвоенный ударный разрыв или характерн. ю масштаб структуры фронта ударной волны ($a, c \gg b$, $\pi \frac{b}{c}$) при условиях $k_x \gg k_{\perp}$, $k_x \gg k_y$ ($\cos \theta \gg b/c$, $\theta \neq \pi/2$).

$$I_{mz, \Delta B}^{up} = \frac{\pi \omega k_0^2 \epsilon^2 a^2 b^2 c E_0^2}{32 \sqrt{d}} \left(\frac{\Delta B}{B} \right)_0^2 \left\{ \left[2 \cos \theta + \right. \right.$$

$$\left. + \left(1 - \frac{k_0^2 \epsilon^2}{\beta} \right) \sin \theta \operatorname{tg} \chi \right]^2 + \frac{\epsilon}{d} \sin^2 \theta \left(\frac{\beta}{k_0^2 \epsilon^2} + 2 \operatorname{tg}^2 \chi - \right.$$

$$\left. \left. - 1 \right)^2 \right\} \exp \left[- \frac{\beta}{2d} (a^2 \cos^2 \theta + b^2 \sin^2 \theta) \right], \frac{\beta b^2}{\epsilon \cos^2 \theta} \ll 1; \quad (1.23)$$

$$I_{mz, \Delta B}^{up} = \frac{\pi \omega \epsilon^2 a^2 b^2 c E_0^2}{32 \sqrt{d} \beta} \left(\frac{\Delta B}{B} \right)_0^2 \times$$

$$\times \exp \left\{ \beta (a^2 - b^2)^2 \sin^2 \theta \cos^2 \theta / \left[2d (a^2 \sin^2 \theta + \right. \right.$$

$$\left. \left. + b^2 \cos^2 \theta + \frac{\epsilon}{d} (a^2 \cos^2 \theta + b^2 \sin^2 \theta) \right] \right\} \times$$

$$\times \left[a^2 \sin^2 \theta + b^2 \cos^2 \theta + \frac{\epsilon}{\delta} (a^2 \cos^2 \theta + b^2 \sin^2 \theta) \right]^{-1/2} \times$$

$$\times \left\{ \left[a^2 \sin^2 \theta + b^2 \cos^2 \theta + \frac{\epsilon}{\delta} (a^2 \cos^2 \theta + b^2 \sin^2 \theta) + \frac{\beta}{\delta} (a^2 - b^2)^2 \right] \right.$$

$$\left. \times \sin^2 \theta \cos^2 \theta \right] \left[2 \cos \theta + \left(1 - \frac{k_0 \epsilon^2}{\beta} \right) \sin \theta \operatorname{tg} \chi \right]^2 \times [a^2 \sin^2 \theta + b^2 \cos^2 \theta +$$

$$+ \frac{\epsilon}{\delta} (a^2 \cos^2 \theta + b^2 \sin^2 \theta)]^2 + \frac{\beta}{\delta} \sin^2 \theta \left(\frac{\beta}{k_0^2 \epsilon^2} - 1 + 2 \operatorname{tg}^2 \chi \right)^2 \right\} \times$$

$$\times \exp \left[- \frac{\beta}{2\delta} (a^2 \cos^2 \theta + b^2 \sin^2 \theta) \right], \frac{\beta b^2}{\epsilon \cos^2 \theta} \gg 1.$$

Далее рассмотрим магнитные неоднородности, имеющие отношение к турбулентности ($0 \leq \theta < \pi$, $0 \leq \psi < 2\pi$).

3) Изотропная мелкомасштабная магнитная неоднородность ($\psi \neq 0$, $\theta \neq 0$, $a = b = c$, $\tilde{k}_x \ll k_z, \tilde{k}_y \ll k_z$)

$$I_{\text{ММЗ}, \Delta B}^{\text{ин}} = \frac{9\pi \sqrt{\epsilon} \alpha^3 \sqrt{\epsilon}}{2\omega \sqrt{2(\epsilon + \epsilon)^{3/2}}} \left[\frac{\alpha}{\epsilon} (\xi^2(\theta, \varphi) + \gamma^2(\theta, \varphi) + \zeta^2(\theta, \varphi)) \right] \left(\frac{\Delta B}{B_0} \right)^2, \quad (1.24)$$

$$+ \zeta^2(\theta, \varphi) \right] \left(\frac{\Delta B}{B_0} \right)^2, \quad \frac{\beta \alpha^2}{2\alpha} \ll 1, \quad \frac{\alpha^2 \beta}{\epsilon} \ll 1,$$

где $\xi(\theta, \varphi) = |j_x| B_0 / \Delta B$, $\gamma(\theta, \varphi) = |j_y| B_0 / \Delta B$, $\zeta(\theta, \varphi) = |j_z| B_0 / \Delta B$,

при $\Delta N = 0$. Вид зависимости $I_{\text{ММЗ}, \Delta B}^{\text{ин}}(\theta) \Big|_{\varphi=0}$ изображен

на рис. 2. Рассеяние наиболее эффективно на неоднородностях с магнитным возмущением ортогональным к постоянному магнитному полю.

4) Анизотропная (вытянутая вдоль ММП) магнитная неоднородность (АН). Вектор флуктуации магнитного поля каждой неоднородности направлен под углом Θ к ММП. Поэтому выбираем возбуждение в виде

$$\Delta B_z' = \Delta B_0 \left(-\frac{r^2}{b^2} - \frac{z^2}{a^2} \right).$$

Если, кроме того $\tilde{k}_x \ll k_\perp$, $a \gg b$, то перенесла-

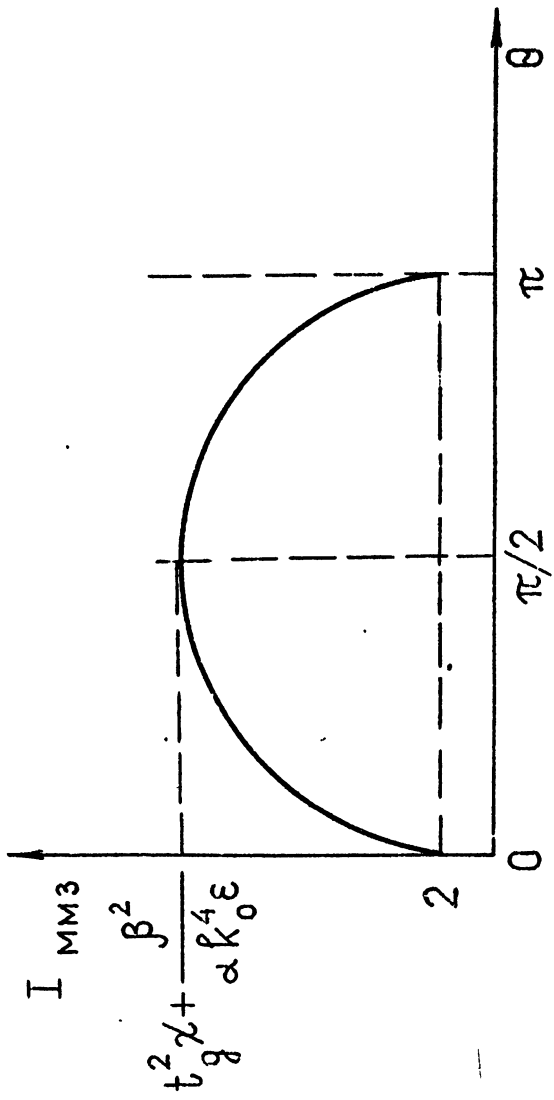


FIG. 2

мая мощность записывается следующим образом:

$$I_{\text{ММЗ}, \Delta B}^{\text{AH}} = \frac{\pi^3 b^4 a^2}{2 \omega \sqrt{\delta \epsilon}} \left[\xi^2(\theta, \varphi) + \gamma^2(\theta, \varphi) + \frac{\epsilon}{\delta} \zeta^2(\theta, \varphi) \right] \left(\frac{\Delta B}{B} \right)_0^2 \times$$

$$\times \left\{ \frac{v}{2\mu^2} + \sqrt{\frac{\pi c}{\mu s}} \frac{2v^2 + \mu}{4} \exp\left(\frac{v^2}{\mu}\right) \left[\Phi\left(\frac{v}{\sqrt{\mu}}\right) + 1 \right] \right\} \exp\left(-\frac{\beta a^2}{2\delta} \frac{b^2 \beta}{\epsilon}\right) \ll 1,$$

$$I_{\text{ММЗ}, \Delta B}^{\text{AH}} = \frac{\pi^3 b^4 a^2}{\omega (\delta b^2 + \epsilon a^2) \sqrt{\beta \delta}} \times \quad (1.25)$$

$$\times \left[\frac{\delta^2 (\xi^2(\theta, \varphi) + \gamma^2(\theta, \varphi))}{\delta b^2 + \epsilon a^2} + \frac{\beta}{2} \zeta^2(\theta, \varphi) \right] \left(\frac{\Delta B}{B} \right)_0^2 \times \\ \times \exp\left(-\frac{\beta}{2\delta} a^2\right), \frac{b^2 \beta}{\epsilon} \gg 1.$$

Для того, чтобы в дальнейшем описать рассеяние альвеновской волны в среде с выше выбранной магнитной турбулентностью, необходимо получить выражения для переизлучения мощности безотносительной неодно-

родностью. С этой целью проведём усреднение (1.24) и (1.25) по всем направлениям возмущения магнитного поля в неоднородности, т.е. по углам θ и φ . При этом получим следующие выражения:

$$\langle I_{\text{ммз}, \Delta B}^{\text{ин}} \rangle = \frac{\omega \alpha^2 \epsilon \sqrt{\pi \epsilon} E_0^2}{96 \sqrt{2} (\delta + \epsilon)^{3/2}} \left(\frac{\Delta B}{B} \right)_0^2 F(\chi), \quad (1.26)$$

$$\langle I_{\text{ммз}, \Delta B}^{\text{ан}} \rangle = \frac{\omega \pi \alpha^2 b^4 \epsilon \sqrt{\epsilon} E_0^2}{96 (\delta b^2 + \epsilon a^2)^{3/2}} \left[\frac{k_0 \epsilon \alpha^2}{(\delta b^2 + \epsilon a^2)^{1/2}} + \right.$$

$$\left. + \sqrt{\frac{\pi \epsilon}{2}} \right] \left(\frac{\Delta B}{B} \right)_0^2 F(\chi), \quad \frac{\beta \alpha^2}{2 \delta} \ll 1, \quad \frac{\beta b^2}{\epsilon} \ll 1; \quad (1.27)$$

$$\langle I_{\text{ммз}, \Delta B}^{\text{ан}} \rangle = \frac{\omega \pi \alpha^4 b^4 \epsilon^2 \sqrt{\epsilon} k_0 E_0^2}{96 \sqrt{\delta} (\delta b^2 + \epsilon a^2)^2} \left[1 + \frac{\alpha^2 k_0 \epsilon \sqrt{2 \pi \delta}}{(\delta b^2 + \epsilon a^2)^{1/2}} \times \right.$$

$$\left. \times \exp \frac{\alpha^4 k_0^2 \epsilon^2}{2 (\delta b^2 + \epsilon a^2)} \right] \left(\frac{\Delta B}{B} \right)_0^2 F(\chi) \exp \left(-\frac{\beta \alpha^2}{2 \delta} \right), \quad \frac{\beta b^2}{\epsilon} \ll 1, \quad (1.28)$$

$$\text{где } F(\chi) = 4 \epsilon \operatorname{tg}^4 \chi + \operatorname{tg}^2 \chi \left[\left(1 - \frac{k_0^2 \epsilon^2}{\beta} \right)^2 \delta + \right]$$

$$\left. + 4 \left(\frac{\beta}{k_0^2 \epsilon^2} - 1 \right) \epsilon + \frac{dk_0^4 \epsilon^4}{\beta^2} \left(\frac{\beta}{k_0^2 \epsilon^2} - 1 \right)^2 \right] + 4 \phi + \epsilon \left(\frac{\beta}{k_0^2 \epsilon^2} - 1 \right)^2.$$

6. Если рассматриваемая среда полностью заполнена случайными неоднородностями (см. п.а.1, б.3, 4), то мощность альвеновской волны рассеиваемая ими в ММЗ в единичном объеме, находится делением (1.17), (1.26), (1.27), (1.28) на эффективный объем одной неоднородности [12]

$V_{\text{эфф}} = (\pi/2)^{3/2} abc$. Тогда вводя выражение для коэффициента затухания плотности потока альвеновской волны вследствии резонансного рассеяния в ММЗ:

$$x = \frac{I_{\text{ММЗ}}}{|\vec{S}|(\pi/2)^{3/2} abc}, \text{ где } |\vec{S}| = \left| \frac{c}{8\pi} (\vec{E}_0 \times \vec{B}) \right| = \frac{c\sqrt{\epsilon}}{8\pi} E_0^2,$$

получаем показатель экспоненты затухания xL , где L – длина пути распространения. В диапазоне геомагнитных пульсаций $\omega_H = 0,1$ (частота в неподвижной системе координат) для условий в солнечном ветре: $\omega_{\text{вн}} = 0,5 \text{ c}^{-1}$, $\omega_{0i} = 2 \cdot 10^3 \text{ c}^{-1}$, $\omega_{0e} = 10^5$, $v_{te} = 2 \cdot 10^8 \text{ см/с}$, $(\Delta N/N_0) = 2 \cdot 10^{-2}$, $(\Delta B/B_0) = 2 \cdot 10^{-1}$ имеем: $x_{\Delta N}^{HH} = 10^{-12} (a \leq 10^7)$;

$$\chi_{\Delta N}^{IN} = 2 \cdot 10^{-14} (a \geq 10^8); \quad \chi_{\Delta B}^{IN} \sim \chi_{\Delta B}^{AH} = 10^{-8}$$

$$(a, b \leq 10^7); \quad \chi_{\Delta B}^{AH} = 3 \cdot 10^8 (a \geq 10^8, b \leq 10^7).$$

Таким образом, затухание альвеновской волны в солнечном ветре на пути Солнце-Земля из-за рассеяния на мелкомасштабных неоднородностях и в особенности магнитных, может оказаться существенным: $\chi_{\Delta N}^{IN} \cdot L \sim 10$;

$$\chi_{\Delta B}^{IN} \cdot L \sim \chi_{\Delta B}^{AH} \cdot L \sim 10^5, \text{ где } L = 1 \text{ а. в.}$$

Следует, однако, заметить, что магнитные неоднородности, с помощью которых мы описываем магнитную турбулентность солнечного ветра, чаще имеют характерные размеры на порядок или два превышающие взятые для огненок. Поэтому реальное эффективное затухание, связанное с рассеянием на них волн диапазона геомагнитных пульсаций, оказывается меньше, чем связанное с рассеянием на неоднородностях концентрации плазмы.

Для солнечного ветра свойственны также неоднородности, располагающиеся в пространстве дискретно. Это прежде всего тангенциальные разрывы типа "магнитных щелей", контактные разрывы и ударные волны. Оценим затухание альвеновской волны из-за рассеяния в ММЗ каждой из таких неоднородностей (1.18), (1.18), (1.22), (1.23). Учтем, что для "МЩ": $\Delta B/B_0 = 0.2$; $\Delta N/N = 0.5$; "СКР" - $\Delta N/N \sim 1$, "УР" - $\Delta N/N \sim 1$, $\Delta B/B_0 \sim 1$. Строго говоря, для таких неоднородностей борновское приближе-

ние не справедливо, однако оценки по полученным формулам позволяют сделать нам правильный вывод о начальной стадии затухания, несмотря на возможную мелкомасштабность в поперечном направлении. При этом для "магнитных щелей":

$$\frac{I_{\text{мш}}}{|S|} \sim \frac{I_{\text{ммз}, \Delta N}}{|S|}, \quad \operatorname{tg}^2 \chi = \frac{2 \phi^2}{(a^2 \varepsilon + b^2 \phi) \beta},$$

$$\frac{I_{\text{мш}}}{|S|} \ll \frac{I_{\text{ммз}, \Delta B}}{|S|}, \quad \operatorname{tg}^2 \chi < \frac{2 \phi^2}{(a^2 \varepsilon + b^2 \phi) \beta}.$$

Эффективное затухание альвеновской волны из-за рассеяния на контактных и ударных разрывах также исчезающее мало, даже при учёте неоднократного рассеяния вследствие наличия нескольких неоднородностей на пути распространения.

7. Таким образом, при распространении альвеновских волн от окрестностей Солнца к Земле могут возникнуть условия, при которых эти волны будут очень сильно затухать на плазменной и магнитной турбулентности. Поэтому можно считать маловероятной регистрацию УНЧ колебаний

в магнито сфере Земли, за которые ответственны далёкие области космического пространства. С другой стороны, УНЧ волны, генерируемые в окрестности Земли, в частности потоками протонов, как от солнечных вспышек, так и отраженными от головной ударной волны, достигнут магнитосферы при условии мелого затухания в переходной области.

Рассмотренный здесь механизм трансформации МГД волны на неоднородностях плазмы необходим также для понимания экспериментальных данных, свидетельствующих о существенной доле магнитозвуковых колебаний в возмущениях магнитного поля, регистрируемых на ИСЗ [4].

Полученные в этой части работы выражения для интенсивности рассеяния альвеновской волны на неоднородностях плотности и магнитного поля в неизотермической плазме, могут оказаться полезными при решении широкого круга задач в плазме с нагретыми электронами.

П. Затухание ультразвуковых волн в переходной области

1. Проникновение генерированных в солнечном ветре УНЧ волн в магнитосферу Земли не является очевидным. Дело в том, что при взаимодействии солнечного ветра с магнитосферой, за головной ударной волной об-

разуется так называемая переходная область, содержащая, помимо постоянного магнитного поля B_0 , флуктуационную магнитную часть, обусловленную нерегулярным течением плазмы. Параметры плазмы переходной области таковы, что затухание волн, связанное с кулоновскими столкновениями, несущественно. В данном случае более сильным является взаимодействие частиц со случайными флуктуациями магнитного поля. Анализ экспериментальных данных показал, что мощность магнитных флуктуаций в переходной области описывается степенным спектром, переходящим в плоский на критической частоте f_{kp} [13]. Это позволяет приписать магнитной турбулентности характерный пространственный масштаб $\Lambda = V_{n,0}/2\pi f_{kp} = 10^7$ см, $V_{n,0}$ — скорость среды в переходной области.

Повидимому не менее интересным является изучение вопроса о влиянии на процесс распространения, рассеяния волн на магнитной турбулентности, характеризуемой масштабом Λ . Такое рассеяние может привести к эффективному затуханию волн вследствии трансформации энергии нормальных волн одного типа в другой.

Целью работы является оценка степени вклада каждого из этих процессов в общее ослабление волны в переходной области, а также проверка принципиальной возможности проникновения УНЧ волн из солнечного ветра через переходную область.

2. Исследование процесса затухания УНЧ волн в переходной области проводится здесь в приближении кинетического уравнения с интегралом столкновения, взятым в модельной форме Батнагара-Гросса-Крука (БГК) [14]

$$\left(\frac{\partial f_{\phi}}{\partial t} \right)_{st}^{\Delta n} = -V_{\Delta n} (f_{\phi} - N_{\phi} \Phi_{\Delta n}),$$

где $V_{\Delta n}$ – величины имеющие смысл эффективных частот столкновений, f_{ϕ} – функция распределения частиц сорта ϕ ,

$$\Phi_{\Delta n} = \frac{1}{(2\pi m_{\phi} T_{\Delta n})^{3/2}} \exp \left\{ - \frac{m_{\phi} (\vec{V} - \vec{V}_{\Delta n})^2}{2 T_{\Delta n}} \right\},$$

$$T_{\Delta n} = \frac{m_{\phi} T_n + m_n T_{\phi}}{m_{\phi} + m_n}, \quad \vec{V}_{\phi} = \frac{1}{N_{\phi}} \int d\vec{p} \vec{V} f_{\phi} -$$

– гидродинамическая скорость,

$$N_{\phi} = \int d\vec{p} f_{\phi}, \quad T_{\phi} = \frac{m_{\phi}}{3} \frac{1}{N_{\phi}} \int d\vec{p} (\vec{V} - \vec{V}_{\phi})^2 f_{\phi}, \quad \vec{p} = m \vec{V},$$

где m_ϕ - масса и \bar{v} - скорость частицы ϕ ,
индекс "T" имеет отношение к нейтральным образова-
ниям.

Такое приближение применимо для плазмы, в кото-
рой определяющую роль играют столкновения заряжен-
ных частиц с нейтралами [14]. В условиях переходной
области частицы рассеиваются магнитными неоднородно-
стями, которые при $a \ll \lambda$ (a - размер неоднородно-
сти, λ - длина рассматриваемых волн) аналогичны га-
зу нейтралов.

Частоты столкновений частиц с неоднородностями
 $v_{\phi n}$ ($\phi = p$ (протоны), e (электроны)) при работе с
модельным интегралом БГК, как и для случая столкно-
вения с нейтралами [15], находятся из простых кине-
матических представлений. Определим их исходя из здра-
вого физического смысла. Пусть магнитная неоднород-
ность представляет собой шар диаметра a , тогда кон-
центрация таких шаров $N = 6/\pi a^3$. Частота стол-
кновений частиц сорта ϕ с такими шарами $v_{\phi n} = N v_{T\phi n}$,
где под сечением рассеяния будем понимать $S_n = \pi a^2/4$.
В результате получим формулу для описания соударений

$$v_{\phi n} = \frac{3\pi v_{T\phi} f_{kp}}{V_{n,0}} .$$

Принимая во внимание характерные величины для параметров плазмы в переходной области: $V_{Te} = 4 \cdot 10^8$ см/с; $V_{T\phi} = 2 \cdot 10^7$ см/с., $V_{n,0} = (0,5 + 1) \cdot 10^7$ см/с., $f_{kp} =$

$= 0,2 \text{ c}^{-1}$, находим диапазоны возможных изменений частот соударений: $70 \text{ c}^{-1} < V_{en} < 140 \text{ c}^{-1}$ $4 < V_{in} < 7 \text{ c}^{-1}$.

Эта простая оценка совпадает с результатами расчётов [16], проведёнными на основании более сложной модели взаимодействия частиц с магнитными неоднородностями.

Известно, что при использовании модельного интеграла столкновений в принятой форме удается получить общее выражение для тензора диэлектрической проницаемости [17]:

$$\epsilon_{ij}(\omega, \vec{k}) = \tilde{\epsilon}_{ij} + \sum_d \left(\delta_{ijm} + i \frac{\sqrt{\epsilon_m} G_{di} k_m}{\omega - iV_{dn} G_d k} \right) \times \\ \times \frac{\omega + iV_{dn}}{\omega} \left[\epsilon_{mj}^d(\omega + iV_{dn}, \vec{k}) - \delta_{mj} \right], \quad (2.1)$$

где

$$G_{dx} = \frac{\omega_{Bd}}{k_z} \sum_s \frac{s A_s(z_d)}{\omega + iV_{dn} - s\omega_{Bd}} J / \frac{\omega + iV_{dn} - j\omega_{sd}}{|k_z| V_{Td}},$$

$$G_{dy} = -i \frac{\omega_{Bd}}{k_z} \sum_s \frac{z_d A'_s(z_d)}{\omega + iV_{dn} - s\omega_{Bd}} J_+ \left(\frac{\omega + iV_{dn} - s\omega_{Bd}}{|k_z| v_{Td}} \right),$$

$$G_{dz} = -\frac{1}{k_z} \sum_s A_s(z_d) \left[1 + J_+ \left(\frac{\omega + iV_{dn} - s\omega_{Bd}}{|k_z| v_{Td}} \right) \right],$$

$$z_d = \frac{k^2 v_{Td}^2}{\omega_{Bd}^2}, \quad A_s(z_d) = \exp(-z_d) I_s(z_d),$$

$I_s(z_d)$ – функция Бесселя, $J_+(\chi)$ – функция Крампа,

v_{Td} – тепловая скорость частиц сорта ϕ ; ω_{Bd} – гирочастота, $\vec{k} (k_x, 0, k_z)$ – волновой вектор, $\vec{B}_0 (0, 0, B_0)$, $\xi_{ij}^{d\phi} (\omega + iV_{dn}, \vec{k})$ – тензор, по виду совпадающий с тензором диэлектрической проницаемости частиц сорта ϕ в бесстолкновительной магнитоактивной плазме [17], в котором произведена замена $\omega \rightarrow \omega + iV_{dn}$.

При получении (2.1) пренебрежено возмущением температуры заряженных частиц ("изотермическая мо-

дель" интеграла столкновений БГК) и причато, что магнитные неоднородности неподвижны ($T_n = 0$).

Для УНЧ волн диапазона геомагнитных пульсаций ($\omega \sim 0,1 \text{ с}^{-1}$) в переходной области ($\omega_{B_0} = 0,5 \text{ с}^{-1}$, $\omega_{Be} = 10^3 \text{ с}^{-1}$), будем предполагать выполнеными условия

$$\left| \frac{\omega + iV_{dn} - 5\omega_{Bd}}{|k_z|} \right| \gg 1, \quad (2.2)$$

а также $k_\perp^2 |v_{T\phi}|^2 / \omega_{Bd}^2 \ll 1$ и $|k_\perp v_{T\phi}| / (\omega + iV_{dn}) \ll 1$ ⁺.

Это означает, что при наличии значительных эффективных соударений частиц с магнитными неоднородностями плазма переходной области для волн диапазона УНЧ может рассматриваться как двухжидкостная "холодная" среда. При выполнении условий (2.2) тензор диэлектрической проницаемости (2.1) принимает вид:

$$\hat{\epsilon}_{ij} = \begin{pmatrix} \epsilon & iq & 0 \\ iq & \epsilon & 0 \\ 0 & 0 & \gamma \end{pmatrix}, \quad (2.3)$$

где, при "чете неравенств" $\omega, \omega_{B_0} \ll V_{dn} \ll V_{en} \ll \omega_{Be}$,

⁺) Результаты проведенного ниже расчёта подтверждают сделанные здесь предположения.

$$\xi = -\frac{\omega_{oi}^2}{V_{in}^2} + i \left(\frac{V_{en}}{\omega} \cdot \frac{\omega_{oe}^2}{\omega_{be}^2} + \frac{\omega_{oi}^2}{\omega V_{in}} \right),$$

$$g = -\frac{\omega_{oe}^2}{\omega \omega_{be}} + 2i \frac{\omega_{oi}^2 \omega_{bi}}{V_{in}^3},$$

$$\gamma = -\frac{\omega_{oe}^2}{V_{en}^2} + i \frac{\omega_{oe}^2}{\omega V_{en}^2},$$

здесь ω_{oi} — плазменная частота ($\omega_{oi}^2 = 1,5 \cdot 10^7 \text{ c}^{-1}$,

$\omega_{oe}^2 = 3 \cdot 10^{10} \text{ c}^{-1}$). Причем г-я переходной области

справедлива цепь неравенств

$$|Im \xi| \ll |Re \xi| \ll |Re \gamma| \ll |Im \xi| \ll |Re g| \ll |Im \gamma| \quad (2.4)$$

3. Изучим процесс ослабления УНЧ волны в переходной области. Дисперсионное уравнение для нормальных волн в среде с тензором диэлектрической проницаемости (2.3) имеет следующий вид:

$$\begin{aligned} & \epsilon k_z^4 + k_z^2 [k_z^2 (\xi + \gamma) - k_0^2 (\xi^2 - g^2 + \xi \gamma)] + \gamma (k_z^4 - \\ & - 2\epsilon k_z^2 k_0^2 + \epsilon k_0^4 - k_0^4 \alpha^2) = 0, \quad k_0 = \frac{\omega}{c}. \end{aligned} \quad (2.5)$$

Определим область углов между постоянным магнитным полем \vec{B}_0 и волновым вектором \vec{k} , для которой возможно распространение УНЧ если через переходную область без значительного ослабления, связанного

со столкновительным затуханием. Проводя в (2.5) замену $k_z = k \cos \chi$, $k_\perp = k \sin \chi$ и решая полученное биквадратное уравнение, находим выражение для зависимости $k = k(\chi)$:

$$\frac{k^2}{k_0^2} = \frac{\sin^2 \chi (\varepsilon^2 - g^2 + \varepsilon \gamma) + 2\varepsilon \gamma \cos^2 \chi \pm \left[(\sin^2 \chi (\varepsilon^2 - g^2 + \varepsilon \gamma) + 2(\varepsilon \sin^4 \chi + \gamma \cos^4 \chi + \right.}{\left. + 2\varepsilon \gamma \cos^2 \chi)^2 - 4\gamma(\varepsilon^2 - g^2)(\varepsilon \sin^4 \chi + \gamma \cos^4 \chi + (\varepsilon + \gamma) \sin^2 \chi \cos^2 \chi) \right]^{1/2}}$$

(2.6)

$$+ (\varepsilon + \gamma) \sin^2 \chi \cos^2 \chi)$$

Условие слабого затухания ($\operatorname{Re} k \gg \operatorname{Im} k$) находятся из (2.6) при учёте неравенств (2.4)

$$\sin^2 \chi \ll \frac{2 \operatorname{Im} \gamma \operatorname{Re}^2 g}{\operatorname{Im} \varepsilon (4 \operatorname{Re}^2 g - \operatorname{Im} \gamma \operatorname{Im} \varepsilon)}, \quad \varepsilon \neq 0,$$

которое при подстановке характерных параметров среды переходной области может быть упрощено до $\sin \chi \ll 1$.

Это означает, что через переходную область возможно прохождение слабозатухающих УНЧ волн с волновыми векторами $\vec{k} \parallel \vec{B}_0$. Дисперсионное уравнение (2.6) принимает в этом случае вид

$$\frac{k^2}{k_0^2} = \frac{\omega_{qe}^2}{\omega_{qb}^2} \left(1 + i \frac{V_{en}}{\omega_{qe}} + i \frac{\omega_{bi}}{V_{en}} \right) \rightarrow \quad (2.7)$$

Оно описывает распространение необыкновенных право-поляризованных волн.

1. Оценим рассеяние на неоднородностях слабозатухающих, вследствие столкновительного процесса, волн (2.7). Для строгого рассмотрения рассеяния в анизотропной плазме типа переходной области следовало бы провести вычисления, подобные расчётом, отраженным в 1 части работы. Однако, для оценки эффекта, достаточно ограничиться изучением этого процесса в изотропной плазме с диэлектрической проницаемостью ϵ , для которой

$$\epsilon = 4\pi\sigma/\omega_{qb}, \left(\text{Re } k_{qb}^P/k_0 + i \text{Im } k_{qb}^P/k_0 \right)^2 = \epsilon + i4\pi\sigma/\omega_{qb}, \quad \text{где частота волны в движущейся со скоростью } \vec{V}_{\text{по}} \text{ системе координат}$$

$$\omega_{qb} = \omega_h - \vec{V}_{\text{по}} \vec{k}_h, \vec{k}_h = \vec{k}_{qb} - \frac{\omega_{qb}}{c^2} \vec{V}_{\text{по}} \quad (2.8)$$

(индекс "H" имеет отношение к неподвижной системе координат)

⁺⁾ Здесь k и ω взяты в системе координат, связанной с перемещающейся плазмой переходной области.

$\frac{P}{k_{qb}^p}$ - волновое число рассеянной волны в движущейся системе координат. Фактически, именно такое неравенство выполнимо в плазме переходной области при углах $\chi \geq \chi_0$ (χ_0 - угол, начиная с которого столкновительное затухание становится значительным, $\text{Im } k \geq \text{Re } k$). Тогда, как известно [17],

$$\sigma = \frac{\omega_{qb}}{2\pi} \left(\text{Re} \frac{k_{qb}^p}{k_0} \right)^2, \quad \text{Re} \frac{k_{qb}^p}{k_0} \approx \text{Im} \frac{k_{qb}^p}{k_0}. \quad (2.9)$$

Переходящая в тепловые потери интенсивность излучения неоднородности (в данном случае, концентрации ΔN_e), как источника [5]

$$\vec{j}_{\text{ЭФФ}} = - \frac{i\omega_{qb}}{4\pi} \cdot \frac{\Delta N_e}{N_e} (1-\varepsilon) \vec{E}, \quad (2.10)$$

в единице объема, плотно заполненного неоднородностями, запишется в виде

$$I = N_n \int \vec{j} \left| E^p (j_{\text{ЭФФ}}) \right|^2 dx dy dz, \quad (2.11)$$

где N_e - средняя концентрация электронов, E_0^p - электрическое поле падающей волны, N_n - концентрация неоднородностей, E^p поле переизлученной волны. Здесь интегрирование проводится по объему неоднородности. Если принять, что неоднородности являются точечными диполями,

расположенными хиратически, то [17] :

$$\vec{E} = \frac{4\pi}{3} \vec{P}, \quad (2.1^{\circ})$$

где поляризация $\vec{P} = -\frac{i}{\omega_{g6}} \vec{I}_{\text{эфф}}$. Подставляя (2.8),

(2.10), (2.12), в (2.11) и учитывая выражения для \vec{E} и k_{g6}^p/k_0 в изотропной плазме, получаем выражение для мощности рассеянной в единице объема

$$I = \frac{1}{36\pi} \cdot \frac{\omega_{oe}^2}{\gamma_{en}^5} \cdot E_0^2 \left(\frac{\Delta N_e}{N_e} \right)^2.$$

При вычислении коэффициента эффективного затухания, вследствии рассеяния падающей волны (2.7), учтём, что в анизотропной среде переходной области интенсивность I_{χ_0} переизлучаемая в два телесных угла 2π ($1 - \cos \chi_0$), вдоль постоянного магнитного поля и в противоположном направлении, не передаёт в тепло и поэтому должна вычитаться из потерь в полном телесном угле 4π . В этом случае коэффициент затухания запишется в виде:

$$\chi = \frac{I - I_{\chi_0}}{ISI} = \frac{2}{\pi} \cdot \frac{\omega_{oe}^2 \sqrt{\omega_{be}}}{CV^5} \left(\frac{\Delta N_e}{N_e} \right)^2 \sqrt{\omega_{g6} \cos \chi_0}, \quad (2.13)$$

где $I_{\chi_0} = 2 \int_{\chi_0}^{2\pi} \int_0^{\chi_0} \frac{I}{4\pi} \sin \chi d\varphi d\chi$,

а вектор Пойтинга падающей волны определим, как

$$|\vec{S}| = \frac{c}{8\pi} E_0^2 \operatorname{Re} \frac{k_{qb}}{k_0}.$$

Ослабление изучаемой волны, обусловленное рассеянием, зависит от её частоты в движущейся системе координат. Поэтому рассеяние (2.13) на неоднородностях переходной области может оказаться незначительным только для волн с волновыми векторами направленными вдоль потока (см. (2.8)), у которых $\omega_H \approx V_{p,0} \cdot k_H$

5. Оценим ослабление УНЧ волны, связанное со столкновительным затуханием. При этом следует учесть движения среды переходной области как целого со скоростью $\vec{V}_{p,0}$. Пусть вначале $\vec{V}_{p,0} \parallel \vec{B}_0$. Подставляя значение частоты волны в движущейся системе координат (2.8) в дисперсионное выражение для слабозатухающей моды (2.7) и учитывая неравенства (2.4), получаем окончательные дисперсионные соотношения, содержащие и скорость движения среды:

$$\begin{aligned} K_H &= \mp \frac{V}{C^2} \omega_H \mp \frac{\omega_{0e}^2 V}{2\omega_{be} C^2} \left[1 + i \left(\frac{V_{en}}{\omega_{be}} + \frac{\omega_{bi}}{V_{in}} \right) \right] \mp \\ &\pm \frac{\omega_{0e}}{CV\omega_{be}} \sqrt{\left[1 + i \left(\frac{V_{en}}{\omega_{be}} + \frac{\omega_{bi}}{V_{in}} \right) \right] \omega_H + \left[1 + i \left(\frac{V_{en}}{\omega_{be}} + \frac{\omega_{bi}}{V_{in}} \right) \right]^2 \frac{\omega_{0e}^2 V^2}{4\omega_{be}^2 C^2}}. \end{aligned} \quad (2.14)$$

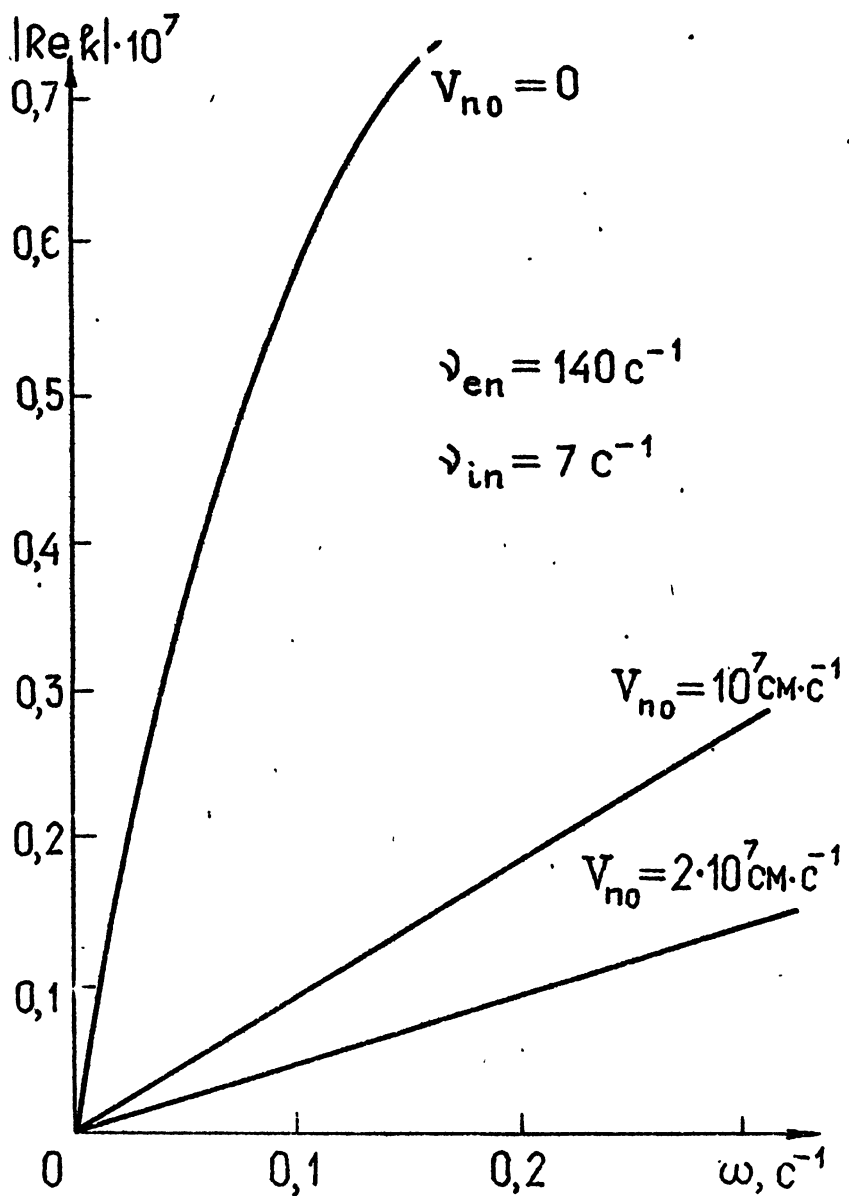
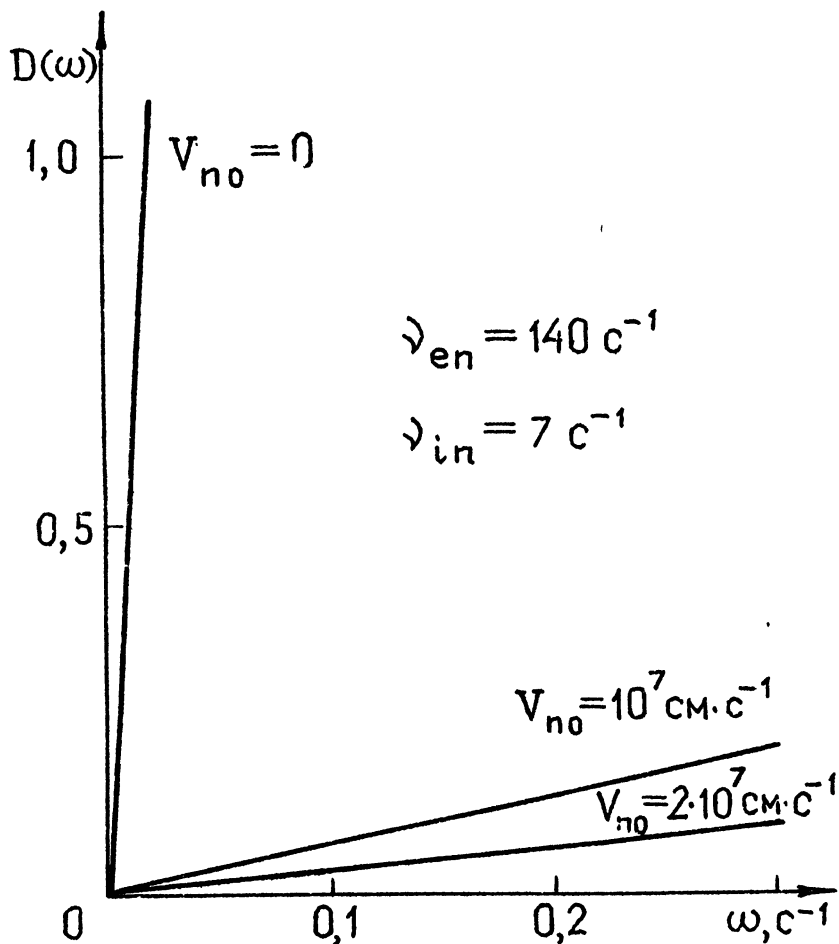


Рис. 3



- Рис. 4

В тех случаях, когда имеются компоненты скорости сноса среды перпендикулярно постоянному магнитному полю $V_{\text{п.0.1}}$ закон дисперсии волны в переляти-вистском случае определяется формулами

$$\omega_n = \omega_{qb}, \quad \vec{k}_n = \vec{k}_{qb} - \frac{\omega_{qb}}{c^2} \vec{V}_{\text{п.0.1}}$$

Это означает, что волна в среде с поперечной скоростью подчиняется таким же законам дисперсии и затухания, как и волна, распространяющаяся под углом $\gamma = -\arctg \frac{\omega V_{\text{п.0.1}}}{c^2 k_{qb}}$ к постоянному магнитному полю в движущейся системе отсчёта. Для максимально возможной $V_{\text{п.0.1}} \leq 3 \cdot 10^7$ см/с оценки дают угол $\gamma \leq 10^{-6}$. Выше было показано, что для углов $\gamma \ll 1$ возможно распространение слабозатухающей волны с дисперсионным соотношением (2.7). Следовательно условия распространения излучаемой волны не меняются в переходной области под влиянием поперечной скорости. Наблюдается только снос возмущения по потоку.

6. В заключении приведем, расчитанные с помощью (2.14) ($k \equiv k_n, \omega \equiv \omega_n$), дисперсионные кривые $\text{Re } k(\omega)$ (рис.3), кривые коэффициента затухания $\Gamma(\omega) = \Gamma_{\text{п.0.1}} |I_m k(\omega)|$ излучаемой волны на толщине переходной области $\Gamma_{\text{п.0.1}} = 10^9$ см.

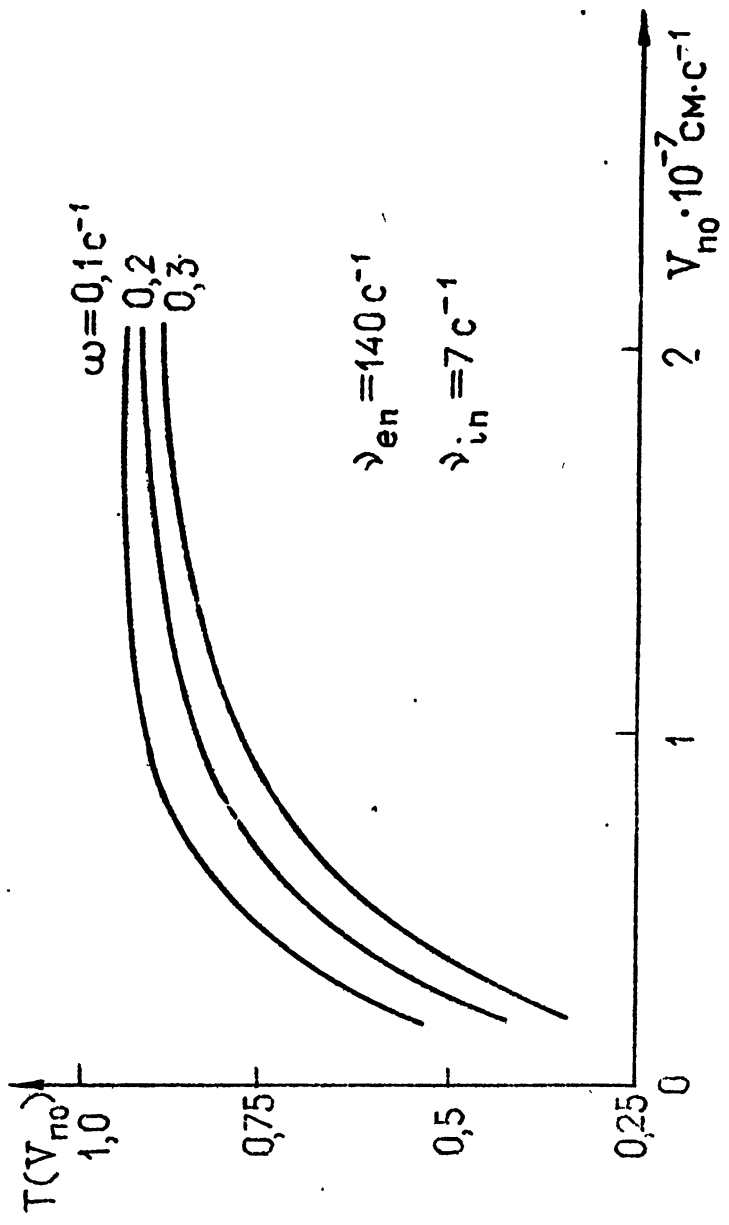


Рис. 5

(рис. 4) и кривые прозрачности $T(V_{\text{п.о}}) = E(t_{\text{п.о}})/E(\cdot) = \exp(-t_{\text{п.о}} |\text{Im } k(V_{\text{п.о}})|)$ (E - амплитуда волны) переходной области в зависимости от скорости среды (рис. 5). Значения параметров указаны на рисунках.

Анализ (2.14) показывает, что затухание сильно зависит от частоты столкновения частиц с магнитными неоднородностями. При слабых столкновениях оно определяется в основном соударениями протонов с неоднородностями, а при относительно сильных - соударениями электронов с неоднородностями. Движения плазмы расширяет полосу "прозрачности" среды переходной области по частоте (рис. 5). Физически это связано с тем, что волны сносятся движущейся плазмой и за то же время проходят больший путь, чем в сопровождающей системе.

Результаты проведенного исследования свидетельствуют о слабом затухании правополяризованных волн с волновыми векторами, направленными вдоль потока в сопровождающей системе координат. Это означает, что образующиеся в солнечном ветре УНЧ волны диапазона геомагнитных пульсаций могут при определенных условиях проходить через переходную область и регистрироваться в магнитосфере Земли.

Таким образом, можно считать теоретически обоснованным предположение о внemагнитосферном происхождении части электромагнитных колебаний, наблюдавшихся на

земной поверхности, и основанным на нём методе диагностики околоземного космического пространства.

Выражаю благодарность Н.Г.Денисову, Н.С.Беллюстину, П.А.Беспалову и В.В.Тамойкину за полезные обсуждения и ряд ценных советов.

Л И Т Е Р А Т У Р А

1. Гульельми А.В., Троицкая В.А. Геомагнитные пульсации и диагностика магнитосферы. - М.: Наука, 1973.
2. Бархатов Н.А., Беспалов П.А., Кованер М.С. - В сб.: Исследования по проблемам солнечно-земной физики, М.: Наука, 1975, с. 108.
3. Hollweg J.V. - Publ.Astr.Soc.Pacific, I974, v.86, N513, p.561.
4. Sari J.W., Valley G.C. - J.Geophys.Res., I976, v.81, N31, p.5489.
5. Денисов Н.Г. - Изв. высш. уч. зав. - Радиофизика, 1960, т. 3, № 3, с. 393.
6. Митяков Н.А., Рапопорт В.О., Трахтенгерц В.Ю. - Изв. высш. уч. зав. - Радиофизика, 1975, т. 18, № 9, с. 1273.
7. Александров А.Ф., Богданович Л.С., Рухадзе А.А. Основы электродинамики плазмы. - М.: Высшая школа, 1978.
8. Barkhatov N.A., Bellustin N.S., Feldstein Ya.I. Program and abstracts XVII IUGG General Assembly, Canberra, I979, ed.N.Fukushima, Paris, p.277.

9. Беллюстин Н.С., Докучаев В.П. - Изв. высш. уч. зав. - Радиофизика, 1975, т. 18, № 1, с. 17.
10. Burlaga L.F., Lemaire J.F. - J.Geo - phys.Res., 1978, v.83, N II, p.5157.
11. Readhead A.C.S., Кемп М.С., Hewish A. - Monthly Notices, 1978, v.185, N I, p.207.
12. Беллюстин Н.С. - Изв. высш. уч. зав. - Радиофизика, 1977, т. 20, № 7, с. 991.
13. Fairfield D.H. - Rev.Geophys.Space Physics, 1976, v.I4, p II7.
14. Batnagar P., Gross E., Krook M. - Phys.Rev., 1954, v.94, p.5II.
15. Гинзбург В.Л. Распространение электромагнитных волн в плазме. - М.: Наука, 1967.
16. Беспалов П.А. - Геомагнетизм и аэрономия, 1976, т. 16, с. 1058.
17. Гинзбург В.Л., Рухадзе А.А. Волны в магнитоактивной плазме. - М.: Наука, 1975.

Дата поступления статьи
28 мая 1980 года

ЗАТУХАНИЕ УЛЬТРАНИЗКОЧАСТОТНЫХ ВОЛН В СОЛНЕЧНОМ ВЕТРЕ И ПЕРЕХОДНОЙ ОБЛАСТИ

Николай Александрович Бархатов

Подписано в печать 08.10.80 г. МЦ 00778 Формат 60x84 1/16
Бумага мвожительная марки А-1. Печать офсетная. Объем 3,1 и.л.
Тираж 120 экз. Заказ 2415. Бесплатно

Горьковский ордена Трудового Красного Знамени научно-исследовательский радиофизический институт (НИРФИ), г.Горький,
603600, ГСП-51, ул.Лядова 25/14, т. 38-90-91, л.5-09.

Отпечатано на ротапринте НИРФИ